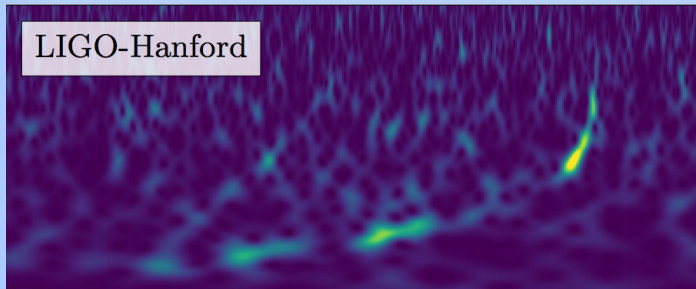


GW170608 FICHA TÉCNICA



| | | | |
|---|--|---|-------------------------------------|
| Observado por | H, L | Duración desde 30 Hz | ~ 2 s |
| Tipo de fuente | Binaria de agujeros negros (AN) | # de ciclos desde 30 Hz | ~ 100 |
| Fecha | 08 de junio de 2017 | Retraso en la señal | Llegó a H ~ 7 ms antes que a L |
| Hora de la fusión | 02:01:16 UTC | Área celeste HL [†] | ~ 520 grados ² |
| Relación señal-ruido | 13 | OG: pico de amplitud (10^{-22}) | ~ 4 (H), 3 (L) |
| Tasa de falsa alarma | < 1 en 3 000 años | Pico de desplazamiento del brazo del interferómetro | $\sim \pm 0.8$ am (H), 0.6 am (L) |
| Distancia | De 0.7 a 1.5 miles de millones de años luz | OG: frecuencia del pico de amplitud | 453 a 610 Hz |
| Desplazamiento al rojo | 0.04 a 0.1 | OG: longitud de onda del pico de amplitud | 492 a 662 km |
| Masa total | 18 a $24 M_{\odot}$ | Frecuencia de estabilización del AN resultante | 745 a 1013 Hz |
| Masa del AN primario | 9 a $19 M_{\odot}$ | Tiempo de relajación del AN resultante | 1.0 a 1.4 ms |
| Masa del AN secundario | 5 a $9 M_{\odot}$ | ¿Consistente con la Relatividad General? | Pasa todos los test realizados |
| Razón de masas | 0.3 a 1.0 | | |
| Masa del AN resultante | 17 a $23 M_{\odot}$ | | |
| Espín del AN resultante | 0.64 a 0.72 | | |
| Tamaño del AN resultante (radio efectivo) | 47 a 63 km | | |
| Área resultante | 2.7 a 5.0×10^4 km ² | | |
| Parámetro de espín efectivo | -0.01 a 0.30 | | |
| Parámetro de espín de precesión efectivo | Sin restricciones | | |
| OG: pico de luminosidad | 1.8 a 3.9×10^{56} erg s ⁻¹ | | |
| OG: energía radiada | 0.68 a $0.91 M_{\odot}c^2$ | | |

Imágenes: trazas tiempo-frecuencia (arriba), distribuciones de masa (abajo derecha).

OG=onda gravitacional, $M_{\odot}=1$ masa solar= 2×10^{30} kg,

am=attómetro (10^{-18} m), H/L=LIGO Hanford/Livingston

El rango de los parámetros corresponde a las regiones de confianza del 90%. [†] intervalo de confianza al 90%.

